EORC における MODIS 準リアルタイム高次処理について

15 September 2001

NASDA EORC ADEOS/海洋プロジェクト

NASA 地球観測衛星 TERRA 搭載センサ MODIS の観測データを、東海大学情報技術センター（TRIC）が受信・輝度/幾何変換処理（Level 1B）処理を行い、そのデータを宇宙開発事業団（NASDA）地球観測利用研究センター（EORC）が ADEOS-2 搭載センサ GLI 用に整備している物理量推定アルゴリズムを用いて処理し、クロロフィル a 濃度や海面水温画像などを公開することになった。以下はその処理フローである。

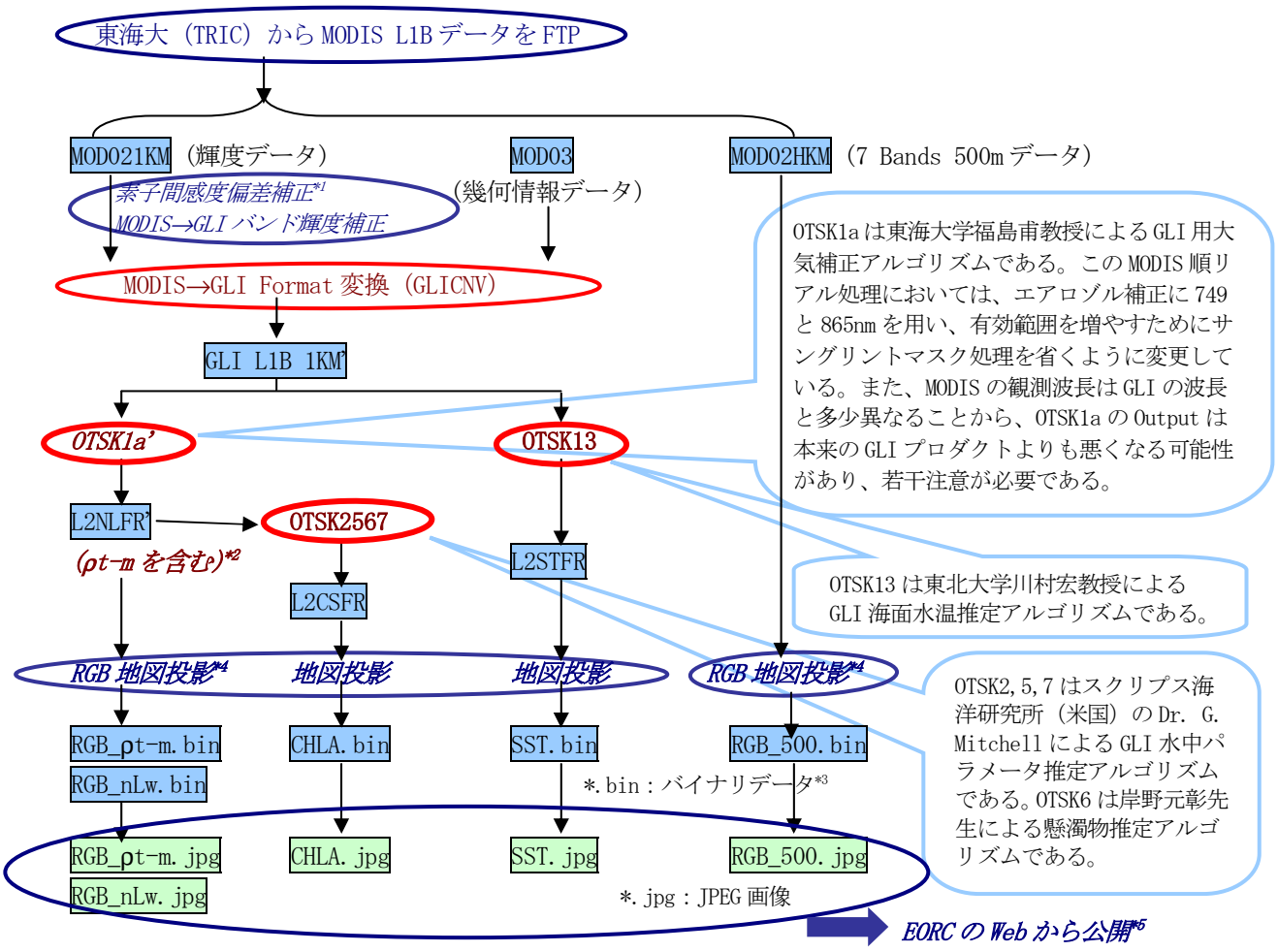

：テンポラリファイル　：EORC で保存するファイル　：Web で公開するファイル

Algorithm：アルゴリズム by ADEOS/Ocean Project,　OTSK*：by ADEOS-2/GLI project

*1：MODIS L1B データのシーン毎に素子間感度偏差係数を算出し、補正を行う。
*2：OTSK1a でレイリー補正済み反射率（ρt-m）を出力するように修正している。
*3：CHLA と SST では 2byte、ρt-m と nLw と 500m バンドの RGB では 1 byte, 3 band のバイナリデータを作成する。
*4：ρt-m と 500m データの RGB では 659, 555, 470nm（MODIS channel 相当）、nLw では 666, 545, 460nm を使用。
*5：CHLA、SST、RGB_ρt-m、RGB_nLw、RGB_500m のバイナリファイルから jpeg 画像を作成し、EORC のホームページから Web 公開を行う。

ファイル名仕様

A2GL1(YYMMDDHHmm)OD1_(プロダクト名)_(pixel サイズ)_(line サイズ)_(パラメータ).jpg
MOD02HKM_A(YYMMDDHHmm)OD1_(プロダクト名)_(pixel サイズ)_(line サイズ)_(パラメータ).jpg
YYMMDDHHmm：年（世紀の下 2 桁、月、日、時間、分）

（例）A2GL101051701510D1_OCSFR_03041_03554_chla.jpg　(5 月 17 日のクロロフィル a 濃度画像)
A2GL101051701510D1_OSTFR_03041_03554_sst.jpg　(5 月 17 日の海面水温画像)
A2GL101051701510D1_ONLFR_03041_03554_nLw.jpg　(5 月 17 日の nLw の RGB 画像)
A2GL101051701510D1_ONLFR_03041_03554_RcRefl.jpg　(5 月 17 日の地表反射率 RGB 画像)
MOD02HKM_A20010517015129_04263_06861_HKrgb.jpg　(5 月 17 日の 500m 衛星観測輝度 RGB 画像)

MODIS Near Real Time Ocean products in EORC *15 September 2001*

NASDA EORC ADEOS/Ocean-science Project

Tokai University Research and Information Center (TRIC) receives earth observation data by MODIS on NASA earth observation satellite, TERRA, and makes geometric and radiometric-converted data (Level 1B data). Using the Level 1B data, National Space Development Agency of Japan (NASDA) Earth Observation Research Center (EORC) produces chlorophyll-a concentration and sea-surface temperature data using ADEOS-2 GLI algorithms, and opens their images by internet homepage of EORC. The following chart shows the processes in EORC.

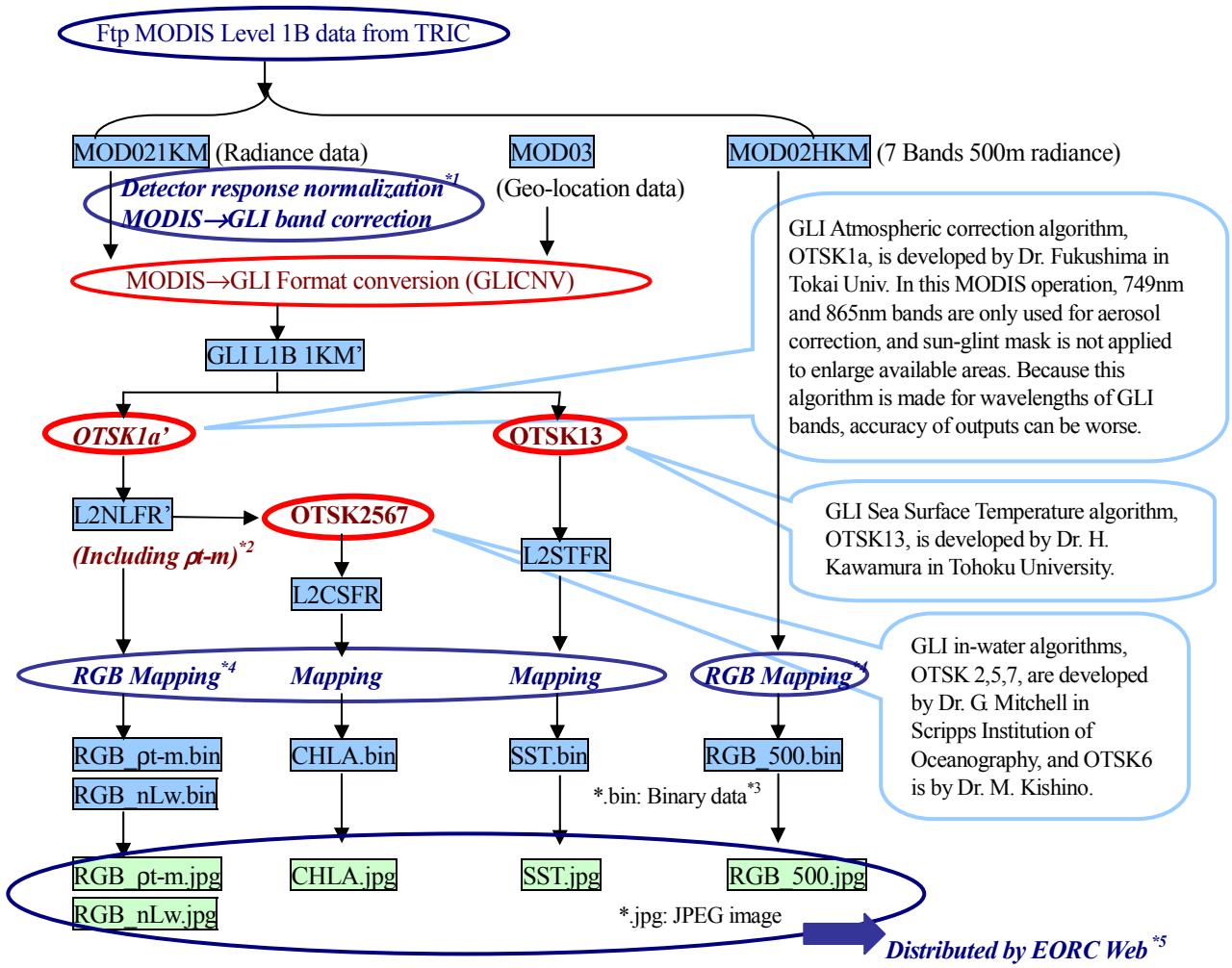

: Temporally file, : Archived in EORC, : Distributed by EORC Web

Algorithm : algorithms by ADEOS/Ocean Project, OTSK* : by ADEOS-2/GLI project

*1: Detector response normalization factors are calculated and applied for each scene of MOD021KM.
*2: OTSK1a is modified to output reflectance subtracted gas molecules part (ρt-m).
*3: 2-byte binary for CHLA and SST, 1-byte×3-band (RGB) binary for ρt-m, nLw and 500m.
*4: 659, 555 and 470nm (as MODIS channels) data are allocated to Red, Green and Blue in the cases of ρt-m and 500m data. 666, 545 and 460nm data are used for nLw data.
*5: JPEG files from binary data of CHLA, SST, RGB_ρt-m, RGB_nLw and RGB_500m are opened by EORC Web.

Filename rule
A2GL1(YYMMDDHHmm)OD1_(Product name)_(pixel size)_(line size)_(parameter name).jpg
MOD02HKM_A(YYMMDDHHmm)OD1_(Product name)_(pixel size)_(line size)_(parameter name).jpg
YYMMDDHHmm: Year (decade), Month, Day, Hour, Minutes

(ex) A2GL10105170151OD1_OCSFR_03041_03554_chla.jpg (Chlorophyll-a concentration image in 17 May, 2001)
A2GL10105170151OD1_OSTFR_03041_03554_sst.jpg (Sea surface temperature image in 17 May, 2001)
A2GL10105170151OD1_ONLFR_03041_03554_nLw.jpg (Normalized water leaving radiance RGB image in 17 May, 2001)
A2GL10105170151OD1_ONLFR_03041_03554_RcRefl.jpg (Rayleigh subtracted reflectance RGB image in 17 May, 2001)
MOD02HKM_A20010517015129_04263_06861_HKrgb.jpg (500m resolution satellite observed radiance RGB image in 17 May, 2001)

L2NLFR'処理の仕様について

Original の GLI プロダクトでは以下のようになっている。

Original GLI L2NL_FR product: 20 parameters

・normalized water-leaving radiance at 380, 400, 412, 443, 460, 490, 520, 545, 565, 625, 666, 680 and 710nm
・Aerosol radiance at 749, 865, 1050, 1240nm;
・Aerosol optical thickness at 865nm;
・Aerosol Angstrom exponent derived from 749 and 865nm
・QF_OC (Quality flag for ocean color: 32-bit)

MODIS Near real time L2NLFR'では以下のように変更する。(2 byte each except for QF_OC)

Near real time MODIS L2NL_FR product: 15 parameters

・Normalized water-leaving radiance at 412, 443, 460, 490, 520, 545, 565, 666, and 680nm
・Reflectance at 625, 565, 460nm subtracted gas molecules reflectance (slope: 0.00002)
・Aerosol optical thickness at 865nm
・Aerosol Angstrom exponent derived from 749 and 865nm
・QF_OC (Quality flag for ocean color: 32-bit)

**.bin ファイルの仕様

Format of binary files

・ファイル名は以下のようにする。
A2G****** (L2 データ名) . (pixel サイズ) _ (line サイズ) . (パラメータ SDSname)

バイナリデータの仕様は以下のような1-line分のヘッダとBSQのバイナリデータ(chlaとsstは2byte、それ以外は1byte) とする。

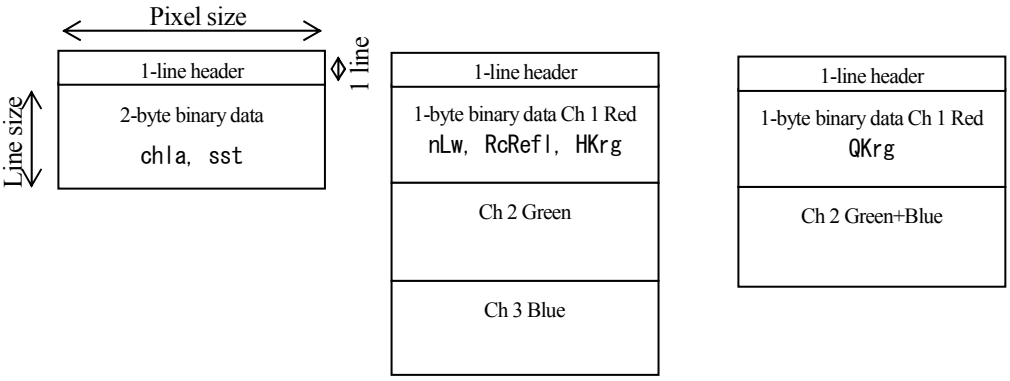

ヘッダ部
head format :
pixel line 左上経度 左上緯度 緯経度刻み slope offset パラメータ名 入力ファイル名
chla, sst, nLw, RcRefl : 2i6,2f8.2,f8.2,2f9.4,a1,a8,a1,a45
HKrgb : 2i6,2f8.2,f8.3,2f9.4,a1,a8,a1,a45
QKrg : 2i6,2f8.2,f8.4,2f9.4,a1,a8,a1,a45
e.g., 2758, 1868, 121.76, 50.92, 0.0025, 1.0000, 0.0000,',',sst ,',',MOD…

```
%===== Display binary data of EORC/TRIC MODIS Near real time data =====%
%  Example;
%  >> dsp_modnrt
%  Input File = ...please type file name with path, and hit return...
%
%           MATLAB m-file  coded by H. Murakami, EORC/NASDA 4 June 2002
%=========================================================================%
clear
infiles=input('Input File = ','s');
%
f_print='off';     % <- PS-file output 'on' or 'off'
%
%--- lat lon range ---
lats=[-999,-999];lons=[-999,-999];  % if lats or lons ==-999;full scene
%------ if you want extract, please define lat-lon area like follows -----
%lats=[41,46];lons=[139,146];  % for zoom up of Hokkaido
%lats=[30,47];lons=[127,148];  % for zoom up of winter serge
%lats=[32,33.5];lons=[129.5,130.8];  % for zoom up of Ariake Bay
%lats=[25,35];lons=[124,132];  % for East China Sea
%lats=[43,48];lons=[142,146];  % for Okhotsk
%lats=[24,41];lons=[120,136];  % for East China Sea test
%lats=[43.8,44.8];lons=[143.2,144.6];  % for Saroma
%-------------------------------------------------------------------------
%
kl=size(infiles,1);
%
for k=1:kl
%
infile=infiles(k,:);
heda=zeros(1,7);
f1=fopen([infile],'r');
if f1>-1;
%
heda=fscanf(f1,'%d %d %g %g %g %g %g');fclose(f1);
f1=fopen([infile],'r');
fseek(f1,55,'bof');para0=fread(f1,[33,1],'char');fclose(f1);
para=char(para0(1:8)');
if para(2:3)=='Kr';label=char(para0(10:33)');
else;              label=char(para0(10:24)');
end
%
nl=heda(1);ml=heda(2);dd=heda(5);
if lons(1)==-999;slon=heda(3);else;slon=lons(1);end
if lons(2)==-999;elon=slon+(nl-1)*dd;else;elon=lons(2);end
if lats(2)==-999;slat=heda(4);else;slat=lats(2);end
if lats(1)==-999;elat=slat-(ml-1)*dd;else;elat=lats(1);end
%
subdeg=[slon,elon,slat,elat];
%
subset0(1:2)=round((subdeg(1:2)-heda(3))/dd+1);
subset0(3:4)=round((heda(4)-subdeg(3:4))/dd+1);
nl0=subset0(2)-subset0(1)+1;ml0=subset0(4)-subset0(3)+1;
subset(1)=max( 1,subset0(1));if subset0(1)<1;ofsn=-subset0(1)-1;else;ofsn=0;end
subset(2)=min(nl,subset0(2));
subset(3)=max( 1,subset0(3));if subset0(3)<1;ofsm=-subset0(3)+1;else;ofsm=0;end
subset(4)=min(ml,subset0(4));
nll=subset(2)-subset(1)+1;mll=subset(4)-subset(3)+1;
%
if subdeg(2)-subdeg(1)>16;inc=floor((subdeg(2)-subdeg(1))/8);
elseif subdeg(2)-subdeg(1)<3;inc=0.2;
elseif subdeg(2)-subdeg(1)<5;inc=0.5;
else;inc=1;end
lon=[ceil(subdeg(1)):inc:subdeg(2)];
lat=[floor(subdeg(3)):-inc:subdeg(4)];
lo1=round((lon-subdeg(1))/dd+1);
la1=round((subdeg(3)-lat)/dd+1);
%
f1=fopen([infile],'r');
if para(1:3)=='sst';
 c1=uint8(zeros(ml0,nl0));
```

```
 fseek(f1,nl*2,'bof');
 a1=fread(f1,[nl ml],'uint16');fclose(f1);
 b1=a1(subset(1):subset(2),subset(3):subset(4))'*heda(6)+heda(7)-273.15;
 lnd=mat2gray(a1(subset(1):subset(2),subset(3):subset(4))',[65534 65535]);
 clear a1;
 dat_max=35;dat_min=-5;npt=256;
 c1(ofsm+[1:mll],ofsn+[1:nll])=uint8((npt-1)*mat2gray(b1,[dat_min dat_max]).*(1-lnd)+lnd*(npt-2));
 clear lnd b1;
% f1=fopen('GOCC.pal','r');
% ba1=fread(f1,[256 3],'uint8');fclose(f1);
% gg=zeros(npt,3);gg(1:180,:)=ba1(34:213,:)/255;
 gg=jet(npt);
 gg(1,1:3)=[1,1,1];gg(npt,1:3)=[0.5,0.5,0.5];gg(npt-1,1:3)=[0.4,0.4,0.4];
elseif para(1:3)=='chl';npt=256;
 c1=uint8(zeros(ml0,nl0));
 fseek(f1,nl*2,'bof');
 a1=fread(f1,[nl ml],'uint16');fclose(f1);
 lnd=mat2gray(a1(subset(1):subset(2),subset(3):subset(4))',[65534 65535]);
 out=mat2gray(a1(subset(1):subset(2),subset(3):subset(4))'.*(1-lnd),[65533 65534]);
 msk=mat2gray(-a1(subset(1):subset(2),subset(3):subset(4))',[-1 0]);
 b1=log10(a1(subset(1):subset(2),subset(3):subset(4))'*heda(6).*(1-msk)+0.000001*msk);
 clear a1 msk;
 dat_max=2;dat_min=-2;
 c1(ofsm+[1:mll],ofsn+[1:nll])=uint8((npt-1)*mat2gray(b1,[dat_min
dat_max]).*(1-lnd).*(1-out)+lnd*(npt-2)+out*(npt-1));
 clear lnd out b1;
% a0=fopen('GOCC.pal','r');
% ba1=fread(a0,[256 3],'uint8');fclose(a0);
% gg=ba1/255;
 gg=jet(npt);
 gg(1,1:3)=[1,1,1];gg(npt,1:3)=[0.5,0.5,0.5];gg(npt-1,1:3)=[0.4,0.4,0.4];
elseif para(1:3)=='RcR' | para(1:3)=='nLw';
 c1=uint8(zeros(ml0,nl0,3));
 fseek(f1,nl,'bof');
 dat_max=255;dat_min=0;
 for j=1:3;
  a1=uint8(fread(f1,[nl ml],'uint8'));
  c1(ofsm+[1:mll],ofsn+[1:nll],j)=a1(subset(1):subset(2),subset(3):subset(4))';
 end
 fclose(f1);
 clear a1;
elseif para(1:3)=='HKr';
 c1=uint8(zeros(ml0,nl0,3));
 fseek(f1,nl,'bof');
 for j=1:3;
  a1=uint8(fread(f1,[nl ml],'uint8'));
  c1(ofsm+[1:mll],ofsn+[1:nll],j)=a1(subset(1):subset(2),subset(3):subset(4))';
 end
 fclose(f1);
 clear a1;
elseif para(1:3)=='QKr';
 c1=uint8(zeros(ml0,nl0,3));
 fseek(f1,nl,'bof');
 for j=1:2;
  a1=uint8(fread(f1,[nl ml],'uint8'));
  c1(ofsm+[1:mll],ofsn+[1:nll],j)=a1(subset(1):subset(2),subset(3):subset(4))';
 end
 fclose(f1);
 c1(ofsm+[1:mll],ofsn+[1:nll],3)=a1(subset(1):subset(2),subset(3):subset(4))';
 clear a1;
end
%
%---------------------- Display image ----------------------------
clf
if mll>nll;
set(gcf,'papertype','usletter','PaperOrientation','portrait','PaperPosition',[0.24706       0.25882       8
10.494],'Units','inches');
scps=get(gcf,'position');
set(gcf,'position',[scps(1)+scps(3)-6,scps(2)+scps(4)-7.875,6,7.875])
else
```

```
set(gcf,'papertype','usletter','PaperOrientation','landscape','PaperPosition',[0.24706    0.25882    10.494
8],'Units','inches');
scps=get(gcf,'position');
set(gcf,'position',[scps(1)+scps(3)-9.4446,scps(2)+scps(4)-7.2,9.4446,7.2])
end
if para(1:3)=='chl'|para(1:3)=='sst';
 if mll>nll;nsz=min(0.80,0.80*nl0/ml0*1.3125);msz=nsz/1.3125*ml0/nl0;
 else;nsz=min(0.80,0.80*nl0/ml0/1.3125);msz=nsz*1.3125*ml0/nl0;end
else
 if mll>nll;nsz=min(0.87,0.87*nl0/ml0*1.3125);msz=nsz/1.3125*ml0/nl0;
 else;nsz=min(0.87,0.87*nl0/ml0/1.3125);msz=nsz*1.3125*ml0/nl0;end
end
axes('position',[0.08 0.08 nsz msz])
%[c8,map]=rgb2ind(c1,256,'nodither');imshow(c8,map);  %% for RGB on 8-bit display %%
imshow(c1);
axis on;grid off;axis('ij');axis('equal')
set(gca,'xtick',lo1,'xticklabel',lon,'fontsize',11);
xlabel('Longitude','fontsize',13);
set(gca,'ytick',la1,'yticklabel',lat,'fontsize',11);
ylabel('Latitude','fontsize',13);
title(['¥it{ }',label,',  ',para],'fontsize',15)
%
%---------------------------- Scale bar ----------------------------------
if para(1:3)=='chl'|para(1:3)=='sst';
 axes('position',[0.10+nsz 0.08 0.05 0.50])
 ba=[dat_min:(dat_max-dat_min)/100:dat_max];
 bb=mat2gray([ba;ba;ba;ba;ba;ba;ba;ba;ba;ba]',[dat_min dat_max]);
 imshow(bb);axis on;axis('xy')
 set(gca,'xtick',[ ]);
 if para(1:3)=='chl';
  rbar=[0.01,0.03,0.1,0.3,1,3,10,30];rbar0=((log10(rbar)+2)/0.04)+1;
  xlabel('[mg m^{-3}]','fontsize',10);
 elseif para(1:3)=='sst';
  rbar=[dat_min:(dat_max-dat_min)/5:dat_max];rbar0=[1:20:101];
  xlabel('[^{o}C]','fontsize',10);
 else;
  rbar=[dat_min:(dat_max-dat_min)/5:dat_max];rbar0=[1:20:101];
  xlabel('[mW cm^{-2} str^{-1} um^{-1}]','fontsize',10);
 end
 set(gca,'ytick',rbar0,'yticklabel',rbar,'fontsize',10,'yaxislocation','right');
 grid on
 colormap(gg)
end
%-------------------------------------------------------------------------------
%-------------------- PS file ----------------------------------
if f_print(1:2)=='on';
 if k==1;print('-dpsc',           ['mod_',para(1:3),'.ps']);
 else;   print('-dpsc','-append',['mod_',para(1:3),'.ps']);end
end
%-----------------------------------------------------------------
%
else
 disp(['No Input File = ',infile]);
end
%
end
```